

# 金相图谱

下 篇



机械工业出版社

75.71  
627  
2

# 金相圖譜

下篇

## 有色金屬部分

第一机械工业部机械制造与  
工艺科学研究院材料研究所編著



机 械 工 业 出 版 社  
1959

## 內容簡介

本圖譜分成上下兩篇：上篇為黑色金屬部分；下篇為有色金屬部分，後者包括鋁及鋁合金、銅及銅合金、軸承合金、鎂及鎂合金等四大類。圖譜中所用的合金絕大部分屬於國內廣泛應用的品種，但亦有一部分系特為熔製以闡明合金相圖與顯微組織間之關係的。

大部分圖片具有標準的顯微組織，但亦有一些則系非標準的、有缺陷的和廢品的組織。

對於每一類合金的有關相圖、顯微組織及其性質等皆分節加以簡單的敘述。此外，每一張圖片亦均附以必要的說明。

本圖譜可供冶金廠、機械製造廠、高等學校和研究機關中從事金相或熱處理工作者參考之用。

NO. 2724

統一書號 15033·1732

---

1959年3月第一版 1959年3月第一版第一次印刷  
787×1092 1/16 字數 388千字 印張 17 7/8 0,001—3,500册

機械工業出版社(北京阜成門外百万庄)出版

機械工業出版社印刷廠印刷 新華書店發行

---

北京市書刊出版業營業  
許可証出字第008号

東方呢精裝 定價 6.50元  
亞麻布精裝 定價 6.10元

前

言

1959/08

用顯微鏡研究金屬的方法，是研究金屬組織的最基本方法，蘇聯工程師 П.Н. Аносов，是第一個用顯微鏡來研究金屬組織的人，他用顯微鏡解決了他廠里生產上的問題，並且對金屬組織進行了研究，從而確定了獲得最優質量的組織。此後的研究，闡明了加熱對金相組織的影響，化學成份與金相組織的關係，金相組織對性能的影響等等，從而控制金屬性能。

這本金相圖譜包括鋼鐵、鋁合金、銅合金、軸承合金及鎂合金等五部分。鋼鐵部分有圖片401張，鋁合金215張，銅合金219張，軸承合金24張，鎂合金33張，總共892張。這裡除一部分樣品選自過去工作中所收集者外，大部分是在這次編寫前，作有計劃補充的，因此全部試樣是反映我國鋼鐵及有色金屬常用的品種。這裡表現了我國在解放後的短短幾年中，冶金及機械工業獲得了驚人的發展。在解放前中國的機械工業破舊不堪，數量又少，可是即使這樣又少又陋的工業所需要的金屬，也全部仰給進口，前後對比，充分說明了社會主義制度的優越性。

這個圖譜里所選的組織，大部分是所謂“標準”的，一部分是不正常的。因為在實際生產中，不正常的組織是經常遇到的，它往往是造成廢品的一個原因。在鋼鐵部分有103張是鋼鐵缺陷的組織，這些圖片是過去工廠委託我們作廢品分析的實物試樣。

在有色金相方面包含兩類組織：一種是按照合金牌號成份，根據一定技術條件進行熱處理，這樣攝成的圖片最能與生產相結合；另一種是按照合金相圖選擇有代表性的成份的合金，進行熱處理，這樣的組織更能表明合金的組織變化，尤其對某些有關鍵性成份的合金組織可以有充分的認識。

圖譜的缺點很多，我們雖然製備了892張圖片，但仍然有很多遺漏，例如鋁合金只有鑄鋁，沒有鍛鋁，軸承合金中只包括錫基與鉛基的巴氏合金，鋼鐵部分亦不够齊全，如化學熱處理及鍍層後的組織不多，尚有待於今後的補充。本圖譜我們雖曾校閱了幾次，但由於工作水平限制，恐仍有未發現出來的錯誤，尤其是某些有色合金的組織。為了充實這項工作，希望生產單位能把它認為比較優秀的實物樣品（正常的，不正常的），送給我們；並且希望讀者指出缺點與錯誤，以便補充或改正。

本圖譜分上下兩篇，上篇是黑色金屬部分由許鎮坤同志編寫，下篇是有色金屬部分由桂立丰、陸灑及李燭輝同志編寫，全書並經金相室全体同志協助完成，陶正耀同志校閱。



## 下 篇 目 录

	說明 頁數	圖片 頁數
<b>I、鋁及鋁合金 .....</b>	<b>7</b>	<b>92</b>
第一节 純鋁 .....	7	92
第二节 鋁硅类合金 .....	9	96
1. 鋁硅合金 .....	10	96
2. 鋁硅銅合金 .....	12	100
3. 鋁硅鎂合金 .....	15	106
4. 鋁硅銅鎂合金 .....	18	116
第三节 鋁銅类合金 .....	21	132
1. 鋁銅合金 .....	21	132
2. 鋁銅硅合金 .....	22	140
3. 鋁銅鎂合金 .....	23	146
4. 鋁銅鎂硅合金 .....	26	152
第四节 鋁鎂类合金 .....	26	154
1. 鋁鎂合金 .....	27	154
2. 鋁鎂硅合金 .....	28	160
第五节 鋁鋅类合金 .....	28	166
第六节 鋁的中間合金 .....	30	172
附录 1. 鋁及鋁合金的常用侵蝕剂 .....	31	
附录 2. 鑒別鋁合金中晶体类别的侵蝕方法 (附显微硬度) .....	36	
参考書 .....	44	
<b>II、銅及銅合金 .....</b>	<b>45</b>	<b>174</b>
第一节 純銅 .....	45	174
第二节 銅合金 .....	48	180
1. 黃銅 .....	48	180
2. 特种黃銅 .....	49	190
3. 錫青銅 .....	54	212
4. 鋁青銅 .....	57	226
5. 特种鋁青銅 .....	58	232
6. 硅青銅及其他特殊青銅 .....	63	246

75.71  
627  
2

# 金相圖譜

下篇

## 有色金屬部分

第一机械工业部机械制造与  
工艺科学研究院材料研究所編著

機械工業出版社

## 內容簡介

本圖譜分成上下兩篇：上篇為黑色金屬部分；下篇為有色金屬部分，後者包括鋁及鋁合金、銅及銅合金、軸承合金、鎂及鎂合金等四大類。圖譜中所用的合金絕大部分屬於國內廣泛應用的品種，但亦有一部分系特為熔製以闡明合金相圖與顯微組織間之關係的。

大部分圖片具有標準的顯微組織，但亦有一些則系非標準的、有缺陷的和廢品的組織。

對於每一類合金的有關相圖、顯微組織及其性質等皆分節加以簡單的敘述。此外，每一張圖片亦均附以必要的說明。

本圖譜可供冶金廠、機械製造廠、高等學校和研究機關中從事金相或熱處理工作者參考之用。

NO. 2724

統一書號 15033·1732

---

1959年3月第一版 1959年3月第一版第一次印刷  
787×1092 1/16 字數 388千字 印張 17 7/8 0,001—3,500册

機械工業出版社(北京阜成門外百万庄)出版

機械工業出版社印刷廠印刷 新華書店發行

---

北京市書刊出版業營業  
許可証出字第008号

東方呢精裝 定價 6.50元  
亞麻布精裝 定價 6.10元

前

言

1959/08

用顯微鏡研究金屬的方法，是研究金屬組織的最基本方法，蘇聯工程師 П.Н. Аносов，是第一個用顯微鏡來研究金屬組織的人，他用顯微鏡解決了他廠里生產上的問題，並且對金屬組織進行了研究，從而確定了獲得最優質量的組織。此後的研究，闡明了加熱對金相組織的影響，化學成份與金相組織的關係，金相組織對性能的影響等等，從而控制金屬性能。

這本金相圖譜包括鋼鐵、鋁合金、銅合金、軸承合金及鎂合金等五部分。鋼鐵部分有圖片401張，鋁合金215張，銅合金219張，軸承合金24張，鎂合金33張，總共892張。這裡除一部分樣品選自過去工作中所收集者外，大部分是在這次編寫前，作有計劃補充的，因此全部試樣是反映我國鋼鐵及有色金屬常用的品種。這裡表現了我國在解放後的短短幾年中，冶金及機械工業獲得了驚人的發展。在解放前中國的機械工業破舊不堪，數量又少，可是即使這樣又少又陋的工業所需要的金屬，也全部仰給進口，前後對比，充分說明了社會主義制度的優越性。

這個圖譜里所選的組織，大部分是所謂“標準”的，一部分是不正常的。因為在實際生產中，不正常的組織是經常遇到的，它往往是造成廢品的一個原因。在鋼鐵部分有103張是鋼鐵缺陷的組織，這些圖片是過去工廠委託我們作廢品分析的實物試樣。

在有色金相方面包含兩類組織：一種是按照合金牌號成份，根據一定技術條件進行熱處理，這樣攝成的圖片最能與生產相結合；另一種是按照合金相圖選擇有代表性的成份的合金，進行熱處理，這樣的組織更能表明合金的組織變化，尤其對某些有關鍵性成份的合金組織可以有充分的認識。

圖譜的缺點很多，我們雖然製備了892張圖片，但仍然有很多遺漏，例如鋁合金只有鑄鋁，沒有鍛鋁，軸承合金中只包括錫基與鉛基的巴氏合金，鋼鐵部分亦不够齊全，如化學熱處理及鍍層後的組織不多，尚有待於今後的補充。本圖譜我們雖曾校閱了幾次，但由於工作水平限制，恐仍有未發現出來的錯誤，尤其是某些有色合金的組織。為了充實這項工作，希望生產單位能把它認為比較優秀的實物樣品（正常的，不正常的），送給我們；並且希望讀者指出缺點與錯誤，以便補充或改正。

本圖譜分上下兩篇，上篇是黑色金屬部分由許鎮坤同志編寫，下篇是有色金屬部分由桂立丰、陸灑及李燭輝同志編寫，全書並經金相室全体同志協助完成，陶正耀同志校閱。



## 下篇 目录

	說明 頁數	圖片 頁數
<b>I、鋁及鋁合金 .....</b>	<b>7</b>	<b>92</b>
第一节 純鋁 .....	7	92
第二节 鋁硅类合金 .....	9	96
1. 鋁硅合金 .....	10	96
2. 鋁硅銅合金 .....	12	100
3. 鋁硅鎂合金 .....	15	106
4. 鋁硅銅鎂合金 .....	18	116
第三节 鋁銅类合金 .....	21	132
1. 鋁銅合金 .....	21	132
2. 鋁銅硅合金 .....	22	140
3. 鋁銅鎂合金 .....	23	146
4. 鋁銅鎂硅合金 .....	26	152
第四节 鋁鎂类合金 .....	26	154
1. 鋁鎂合金 .....	27	154
2. 鋁鎂硅合金 .....	28	160
第五节 鋁鋅类合金 .....	28	166
第六节 鋁的中間合金 .....	30	172
附录 1. 鋁及鋁合金的常用侵蝕剂 .....	31	
附录 2. 鑒別鋁合金中晶体类别的侵蝕方法 (附显微硬度) .....	36	
参考書 .....	44	
<b>II、銅及銅合金 .....</b>	<b>45</b>	<b>174</b>
第一节 純銅 .....	45	174
第二节 銅合金 .....	48	180
1. 黃銅 .....	48	180
2. 特种黃銅 .....	49	190
3. 錫青銅 .....	54	212
4. 鋁青銅 .....	57	226
5. 特种鋁青銅 .....	58	232
6. 硅青銅及其他特殊青銅 .....	63	246

	說明 頁數	圖片 頁數
第三節 銅的中間合金 .....	66	260
附錄 銅及銅合金相檢驗用侵蝕劑 .....	68	
參考書 .....	70	
<b>III、軸承合金 .....</b>	<b>71</b>	<b>262</b>
第一節 錫基巴氏合金 .....	71	262
第二節 鉛基巴氏合金 .....	75	268
附錄 錫基、鉛基和軸承合金之侵蝕劑 .....	78	
參考書 .....	79	
<b>IV、鎂及鎂合金 .....</b>	<b>80</b>	<b>272</b>
第一節 純鎂 .....	80	272
第二節 鎂合金 .....	81	272
附錄 1. 显示鎂合金宏觀組織的侵蝕劑 .....	88	
附錄 2. 显示鎂合金顯微組織的侵蝕劑 .....	88	
參考書 .....	89	

# I 鋁及鋁合金

## 第一节 純鋁

純鋁的比重為2.699，熔點為660.24°C，具有良好的導電性和導熱性，塑性很高，在冷熱狀態下都易于鍛壓或軋制；但鑄造性能則較差，所以一般較少直接用于鑄造，而系先將其澆成鋁錠再經壓力加工后使用。

目前已能得到純度較99.999%為高的鋁供實驗室之用。但工業上應用的鋁則或多或少地含有雜質，其量約自0.01%至2%不等。雜質的存在使鋁的熔點略有降低，例如純度為99.5%的鋁其熔點降至658°C左右。又雜質對鋁的機械性能影響很大，舉例如下表：

不同純度鋁（砂模鑄造狀態）的機械性能

含鋁量，%	抗拉強度，公斤/公厘 <sup>2</sup>	伸長率，% ( $l=5d$ )	布氏硬度
99.996	5.0	45	13~15
99.5	7.5	29	20
99.0	8.5	20	25
98.0	9.0	12.5	28

由上表可看出，當鋁中雜質含量增加時，鋁的強度和硬度逐漸上升，而延展性則迅速下降。此外，雜質的存在還將嚴重地影響到鋁的導電性和導熱性。

工業鋁中的雜質以鐵和矽最為常見，其次則為銅、錳、鋅、鎂、鈣等。

Al—Fe合金平衡圖如圖1-1所示。由該圖可看出，鐵在固體鋁內的溶解度很小，在共晶溫度(655°C)時僅約0.052%，而隨着溫度下降則更相應地減少。鐵與鋁形成化合物 $\text{Al}_3\text{Fe}$ (θ相)。根據某些資料指出，這化合物在600°C以下時發生分解而產生另一種化合物 $\text{Al}_3\text{Fe}_2$ ；但此轉變的詳情現在仍知道得不夠充分，故在平衡圖內亦並未將其標出。由於鐵在固體鋁中溶解度很小，因此少量的鐵就會使鋁中有針狀的 $\text{Al}_3\text{Fe}$ (或 $\text{Al}_3\text{Fe}_2$ )出現，與固溶體(Al)

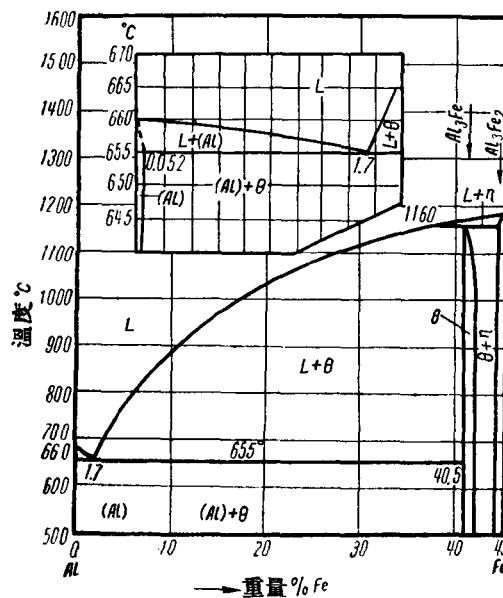


圖1-1 Al-Fe合金平衡圖

构成共晶体。不論  $\text{Al}_3\text{Fe}$  或  $\text{Al}_3\text{Fe}_2$  皆具有高的硬度，性極脆，影响鋁的塑性甚剧；如有多量存在时能使鋁的压力加工發生困难。不仅如此，鐵的存在还降低了鋁的导电性和耐蝕性。因此它是鋁內的一种有害杂质。

$\text{Al}-\text{Si}$  合金平衡圖屬於最簡單的共晶类，見圖 1-2。硅在固体鋁中的溶解度于共晶溫度 ( $577^\circ\text{C}$ ) 时为  $1.65\%$ ；随着溫度下降，溶解度亦逐渐减小；到室溫时仅及  $0.05\%$  左右。至于鋁在固体硅中的溶解度则至今尚未完全确定。

在鋁或鋁合金中，初晶硅常呈粗大的多角形，而共晶硅則常作長条状。这些游离的硅晶体对于鋁的机械性能或物理化学性能所發生的影响与杂质鐵（在鋁中构成  $\text{Al}_3\text{Fe}$  或  $\text{Al}_3\text{Fe}_2$ ）的作用相似。

由于杂质鐵和硅在鋁中常同时存在，因此若要詳細地探討它們对組織所發生的影响，最好能研究  $\text{Al}-\text{Fe}-\text{Si}$  三元合金平衡圖。此圖靠近  $\text{Al}$  隅的部分如圖 1-3 所示，其放大后情况則見圖 1-4。圖 1-5 为熔化沟綫（指位于空間中的二相共晶曲綫和包晶曲綫在底面上的投影）以及初晶区域情况。由圖 1-3 可知， $\text{Al}-\text{Fe}-\text{Si}$  系三元合金靠近  $\text{Al}$  隅部分可能出現的相除  $\alpha$ （鐵和硅在鋁中的固溶体）、 $\text{Si}$  和  $\text{Al}_3\text{Fe}$  外，还可能出現  $T_1$  [ $\text{Al}_{12}\text{Fe}_3\text{Si}$ ，或称  $\alpha-(\text{Fe}-\text{Si})$ ] 及  $T_2$  [ $\text{Al}_9\text{Fe}_2\text{Si}_2$ ，或称  $\beta-(\text{Fe}-\text{Si})$ ]，有时亦書作  $\alpha(\text{Al}-\text{Fe}-\text{Si})$  及  $T_2(\text{Al}-\text{Fe}-\text{Si})$ 。

圖 1-2  $\text{Al}-\text{Si}$  合金平衡圖

有时亦書作  $\beta(\text{Al}-\text{Fe}-\text{Si})$ 。至于  $T_3$  ( $\text{Al}_4\text{FeSi}_2$ )，按照平衡圖来看是不应该与  $\alpha$  固溶体互相平衡的，但实际上由于合金在熔化和冷却过程中并不常处于平衡状态，可能有偏析存在，所以有时亦可見到  $T_3$  相与  $\alpha$  固溶体共同存在。

当  $T_1$  相与  $\alpha$  固溶体构成共晶体时，其分布常作骨骼状；而当  $T_2$  相与  $\alpha$  固溶体构成共晶体时，则  $T_2$  相常作針状。不論是  $T_1$  或  $T_2$  相，当在鋁内存在时都会使鋁的塑性变坏，特別是針状的  $T_2$  相，为害尤烈。

在显微鏡明場觀察时， $\text{Si}$ ，

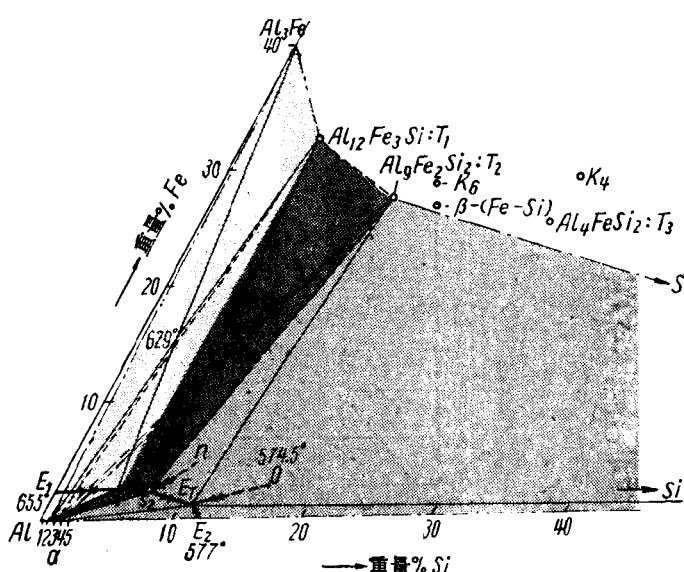
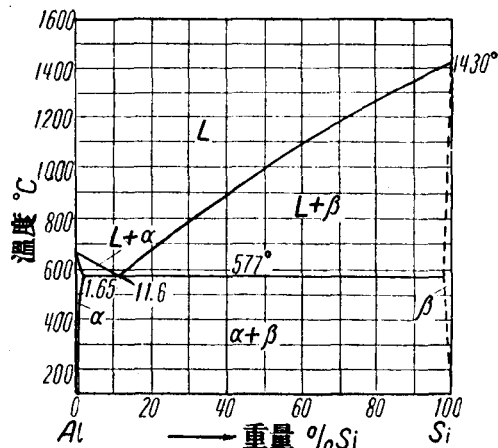


圖 1-3  $\text{Al}-\text{Fe}-\text{Si}$  合金平衡圖靠近  $\text{Al}$  隅部分

$\text{Al}_3\text{Fe}$ ,  $T_1$  和  $T_2$  四相均呈灰色，其中以  $\text{Si}$  的顏色最深（且在正交尼科尔偏光下具有微紅色內反射），



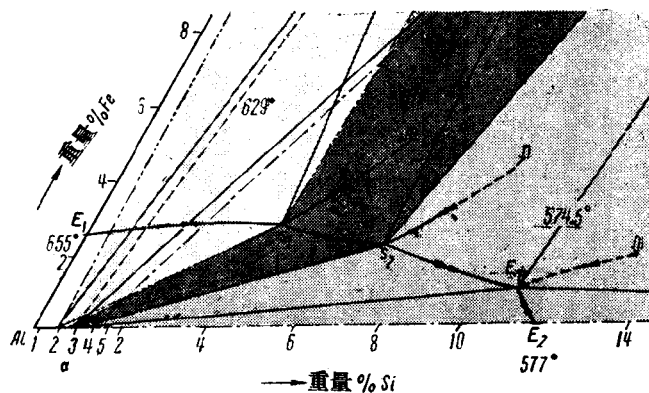


圖 1-4 Al-Fe-Si 合金平衡圖靠近 Al 隅部分的放大情況

$T_2$  次之， $Al_3Fe$  又次之， $T_1$  則最亮。以上四相亦可利用各種侵蝕劑侵蝕後加以區別（鋁合金的常用侵蝕劑及其對各相的反應見附錄 1 及附錄 2：Si 對附錄 2 中所列各種侵蝕劑皆不受侵襲（又硬度特高，顯微硬度為  $H_{5\mu} = 1320$  公斤/公厘<sup>2</sup>），故最易鑑定。其次，當用氫氟酸溶液侵蝕時， $T_2$  將變為棕色，而  $T_1$  和  $Al_3Fe$  均不起作用。最後，欲區別  $T_1$  和  $Al_3Fe$ ，可應用硫酸溶液侵蝕，因  $T_1$  不易變色而  $Al_3Fe$  將被溶去；亦可應用氫氧化鈉溶液侵蝕，此時  $T_1$  不易侵蝕而  $Al_3Fe$  則變色發暗。

欲消除雜質的片狀或針狀組織，一般常將鋁（或鋁合金）於熱狀態下鍛軋後並進行長時間的擴散退火。這樣，上述組織將發生碎裂並能部分地收縮成為圓粒狀，因而改善了金屬的塑性。如不應用壓力加工而單獨使用擴散退火，則只能收到部分效果。例如對晶體矽而言，由於它在鋁中的溶解度較大，所以仍可逐步變成球粒狀（惟效果亦較經壓力加工者為差），但雜質鐵所形成的各種化合物則由於在鋁中的溶解度均甚小，因而它們的形狀不致有顯著的改變。

（本節之金相圖片請參閱 92~95 頁）

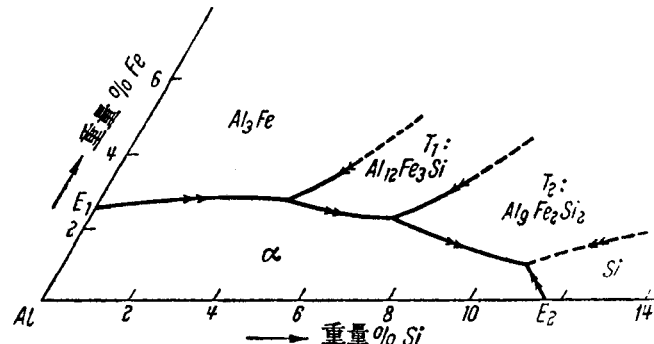


圖 1-5 Al-Fe-Si 合金的熔化溝線和初晶區域

## 第二节 鋁硅類合金

鋁硅類合金通稱為矽鋁明，一般以含矽 4~14% 作為基本成份。它們在工業上開始應用的時間雖較鋁銅類合金為晚，但後來却獲得了最廣泛的應用。目前幾乎有半數以上的鑄鋁合金是屬於鋁硅類的。

硅鋁明之获得广泛应用是在1921年以后。在这以前，硅長时期地被認為是一种有害的杂质，因为它在鋁中常呈長条状或針状分布着（指共晶硅），严重地影响了合金的机械性能。1921年，Pacz發明了鋁硅合金的变質处理方法，即在合金中加入少量氯化鈉和氯化鉀能使共晶硅細化，且它們的形状亦能略趋于圓粒形，因而使合金的机械性能大为改善。由此以后，各种不同成份的鑄造用硅鋁明便逐渐地發展起来，其中包括單純鋁和硅的二元合金，以及尚有其他元素加入的多元合金。

工业上所以大量地应用硅鋁明主要是由于它們具有一系列的优点：比重小（因硅的比重較鋁还低，仅为2.4），铸造时具有优良的流动性并且不易开裂，线收縮系数小，抗热性和抗蝕性高等等。

### 1 鋁硅合金

Al—Si合金平衡圖已見前节圖1-2。硅在固体鋁中的溶解度于共晶溫度(577°C)时为1.65%；当溫度降至常溫时，硅几乎完全不溶于鋁内（此时溶解度仅为0.05%左右）。因此，从理論上来说，鋁硅合金似可进行淬火时效处理以提高其强度，不过实际上其处理后的效果甚小，以致沒有在工业上应用的价值。

当含硅量超过1.65%时，在显微組織內便出現了Si和 $\alpha$ 固溶体所构成的共晶体。若硅量繼續增加，则共晶体的百分比亦将随着增加；至11.6%Si时，则組織全部由共晶体构成。上面已經提到，用普通方法（即不經变質）铸造的硅鋁明，其共晶硅常作粗大的長条状或針状。虽然，利用扩散退火（例如加热至500°C）可使条状或針状的Si晶体部分地轉变为圓粒状，因而提高合金的机械性能，但其作用并不显著。实际上，目前除了含硅量低于5%的合金因变質

效果不大因而不应用此种处理外，一般工业上所用的硅鋁明几均采用变質处理。最常用的变質剂一般为金屬鈉，或为氯化鈉与氯化鈉的混合物，或为氯化鈉、氯化鈉与氯化鉀的混合物。此外，铸造时速冷（例如冷激或者当鑄件壁厚很小时）亦能得到与变質同样的效果。

經变質处理的鋁硅合金其共晶溫度降至558°C左右，而共晶成份則略往右移至14.5%Si处。由此可见，对于含有11.6~14.5%Si的鋁硅合金，經变質者与未經变質者在組織上差別很大，因为后者具有初晶硅而前者則否。

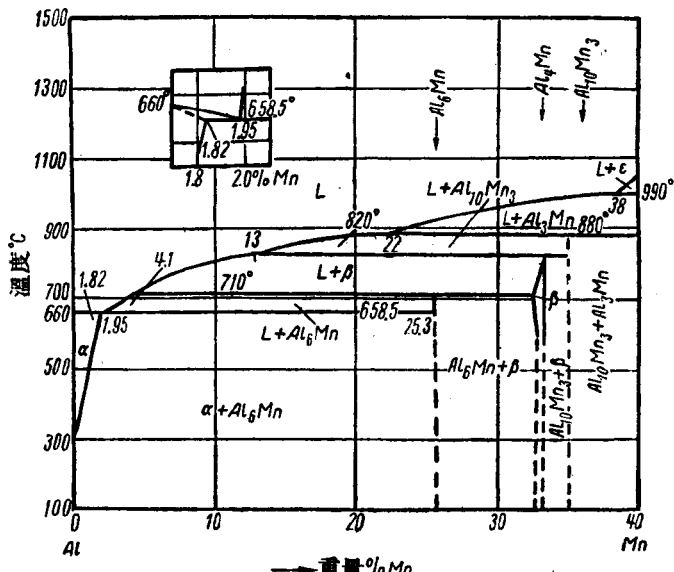


圖 1-6 Al—Mn 合金平衡圖

目前有許多學說來解釋鈉對於鋁硅合金的變質作用，但至今尚無一種較為完整而公認的學說。此处仅举一种說法如下：鈉仅能微溶于液体鋁中；而在凝固点附近，其溶解度几近于零。此时出現的硅晶核，其表面有吸附自鋁液中析出的鈉的倾向。所吸附的鈉薄膜阻碍了硅晶体的長大，同时亦使合金更易于过冷，即降低了合金的共晶溫度。

鉄在硅鋁明中往往是一种不可避免的杂质。它的存在会損害合金的塑性，因为如在第一節內所提到的，鉄常与鋁和硅形成硬脆的  $\text{Al}_3\text{Fe}$ 、 $T_1(\text{Al}_{12}\text{Fe}_3\text{Si})$  以及  $T_2(\text{Al}_9\text{Fe}_2\text{Si}_2)$  等相；特別是  $T_2$  相，由于其常作針狀存在，为害最大。但若在硅鋁明中加入少量的錳，則上述危害性可以大大地減小。錳对硅鋁明这一种有利的作用，至今尚未能完全解釋其原因，但大致可認為如下：錳与鋁形成化合物  $\text{Al}_6\text{Mn}$ ，或与鋁及硅形成三元化合物  $\text{Al}_{10}\text{Mn}_2\text{Si}$ ；这两种化合物均能溶解一部分鉄而成为固溶体（在圖1-7  $\text{Al}-\text{Fe}-\text{Mn}$  三元合金平衡圖上即可看出鉄在  $\text{Al}_6\text{Mn}$  中溶解度甚大，最高时可达 13% Fe，此时錳的含量則为 14%。至于鉄在  $\text{Al}_{10}\text{Mn}_2\text{Si}$  中的溶解情况則在三元平衡圖中无法表示）。由于鉄部分地溶于  $\text{Al}_6\text{Mn}$  或  $\text{Al}_{10}\text{Mn}_2\text{Si}$  中，結果就減少或避免了針狀的  $\text{Al}_3\text{Fe}$  及  $T_2(\text{Al}_9\text{Fe}_2\text{Si}_2)$  等相的出現。虽然，当  $\text{Al}_6\text{Mn}$  或  $\text{Al}_{10}\text{Mn}_2\text{Si}$  与  $\alpha$  固溶体构成

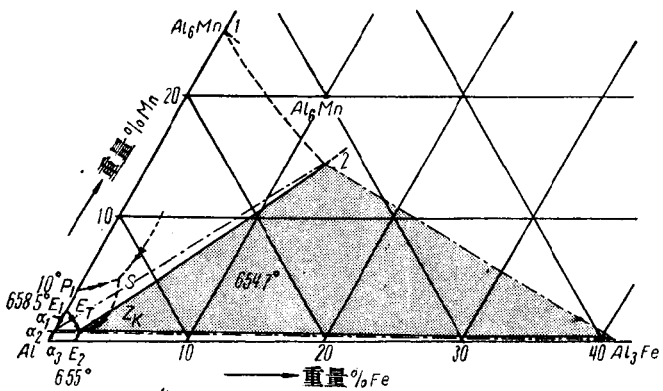


圖1-7  $\text{Al}-\text{Fe}-\text{Mn}$  合金平衡圖靠近  $\text{Al}$  邊部分

共晶体时亦常呈骨骼或汉字状，但其排列較为紧密，且杆条亦較短小，故危害性不如  $\text{Al}_3\text{Fe}$  及  $T_2(\text{Al}_9\text{Fe}_2\text{Si}_2)$  为烈。

圖1-6 为  $\text{Al}-\text{Mn}$  合金平衡圖。圖1-7 及圖1-9 分別为  $\text{Al}-\text{Fe}-\text{Mn}$  及  $\text{Al}-\text{Mn}-\text{Si}$  合金平衡圖；圖1-8 及圖1-10 則分別表示这些合金在凝固后的各相分布範圍。

由圖1-6 可知，在共晶溫度 ( $658.5^\circ\text{C}$ ) 时，錳在鋁中的溶解度为 1.82%。随着溫度下降，溶解度亦相应地減小，至  $500^\circ\text{C}$  时約为 0.36%，至室溫时則更低。从这一点来看，鋁錳合金似可进行淬火及时效处理，但实际上却并不存在这一类可热处理的鋁錳合金。

当錳的含量超过溶解度时，錳与鋁形成化合物  $\text{Al}_6\text{Mn}$ 。 $\text{Al}_6\text{Mn}$  呈亮灰色，較  $\text{Al}_3\text{Fe}$  为亮，且在正交尼科尔偏光下觀察时具有明显的外圈，因此易与  $\text{Al}_3\text{Fe}$  区別。此外，利用侵蝕方法亦可将两者加以区分，例如用硫酸溶液侵蝕

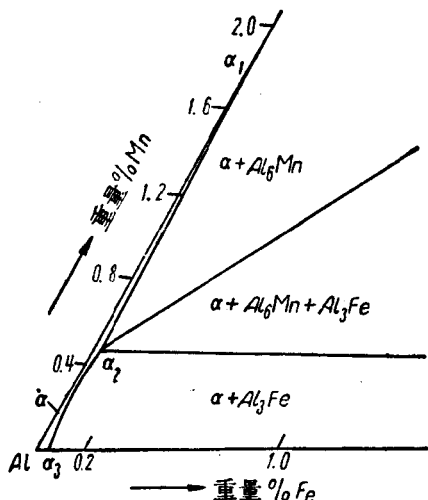


圖1-8  $\text{Al}-\text{Fe}-\text{Mn}$  合金在三元共晶溫度时各相分布範圍